

浅海領域における風波の特性に関する実験的研究

名古屋工業大学 正員 石田 昭

同 学生員 ○副田悦生

この研究は浅海領域における風波の碎波機構を解明するために基礎的実験を行なったものである。十分に発達して定常状態になった風波が浅海領域にくるとどのように変化するかということを風洞実験により調べた。Fig.1のよう W-1～W-5 の測定点に抵抗線式波高計を設置し、波形記録から各点における各種統計量及びパワースペクトルを求めた。実験は5段階の風速について行ない、風速の順に No.1～5 と資料番号を付けた。風速の値については Fig.4 に示す通りである。解析は約3分間の波形記録を 0.1 sec ごとにデジタル化し Blackman Tukey の方法によって自由度約20で行なった。Fig.2 は Data No.5 の水位の頻度分布を示したもので図中の太線は正規分布を示している。風波が線形性であれば正規分布に従うわけであるが実際には違うので正規分布とは異なる。しかし一様水深部の W-1 ではかなり正規分布に近く岸に近づくほど分布からはずれてピーカー値が大きくなっていることがある。これは非線形現象を増していることを示すものである。Fig.3 は Data No.5 の各点でのパワースペクトルを示したものである。W-1 ではスペクトルのピーカー値が小さくピーカー周波数も W-2～W-5 にくらべて高い。またピーカー値は W-3 で一番大きくなり W-4, W-5 で減少し W-5 では大巾に減っている。このことはこの実験では fetch が短いために風波はまだ発達し得るが Shoaling によって碎波しエネルギーを失なうことを意味している。従って W-3 でピーカー値が最大になるのは Shoaling 効果によるものと風波の発達による効果との両者が影響しているものと思われる。ここでは Data No.5 だけが図示してあるが、風速の増大に伴って同一測定点におけるエネルギーピーカーは大きくなっている。Fig.4 は有義波高 H_s 、標準偏差、Skewness、Kurtosis およびスペクトル中パラメーター δ の Shoaling による変化を示したものであり、 δ は次式によって定義される量である。

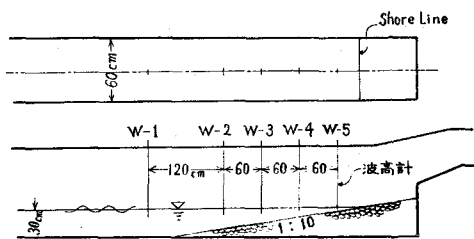


Fig. 1. 実験装置

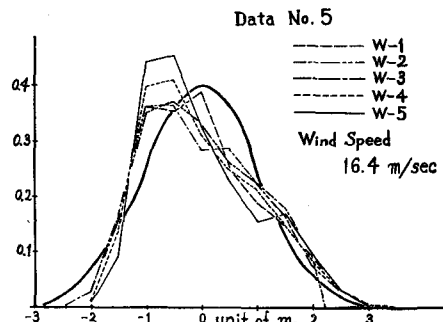


Fig. 2. 水位の頻度分布

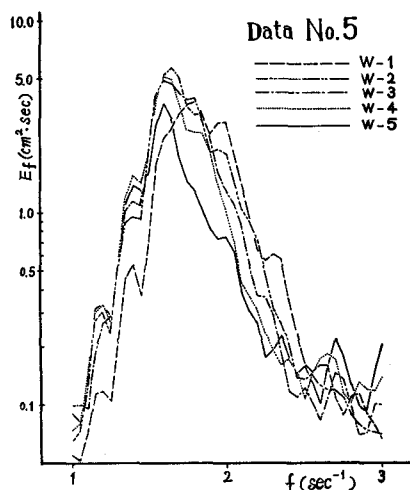


Fig. 3. パワースペクトル

$$\epsilon = 1 - \frac{m_2^2}{m_0 m_4} \quad (1)$$

$$m_n = \int_0^\infty E_f f^n df \quad (2)$$

ここで E_f はエネルギースペクトル密度である。

有義波高および波の総エネルギーに対する標準偏差は風速が大きくなるにつれて大きくなっている。そして有義波は W-4 で一番大きく、標準偏差は W-2 または W-3 で一番大きくなっている。有義波高と総エネルギーは線形プロセスであれば Longuet-Higgins によって次式になることがわかっている。

$$H_{1/3} = 2.83\sqrt{E} \quad (3)$$

従って $H_{1/3}$ が最大となる W-4 で標準偏差が最大となるのは、W-2 より岸側で非線形性が強くなることを意味している。Skewness は各風速とも W-3 で最小となり Data No. 1 と 3 では W-1 より W-2 の方が小さくなっている。

Shoaling および風波の発達によって波高が大きくなれば有限振巾波のように山が尖り、谷が平らになって Skewness は大きくなるものと考えられるがこの図によればその逆になる傾向があり、この原因ははっきりしない。有義波、標準偏差およびスペクトル構造の変化からみると W-4 と W-5 の間で碎波によるエネルギー消散があるようすに推察されるが、碎波する前に風の影響による Shoaling 以外の現象があるかも知れない。Kurtosis の値については、現地海岸での記録を解析した柿沼¹⁾によれば非線形性が強くなると 3 より大きくなることが報告されているが Fig. 4 によればいずれも 3 より小さくなっている。

W-5 で 3 に近づくのは碎波後に波高が小さくなると再び線形性を持ってくることを意味するものと思われる。スペクトル巾を表わす ϵ は W-3 で一旦小さくなるがそれ以後また大きくなっている。これは Shoaling による波形の非対称化あるいは碎波によって高周波数成分が生ずるためと思われる。最後に終始暖い御指導をいただいた細井正延教授に深く感謝の意を表わす。

1) 柿沼忠男・石田昭・門司剛至：記録によつて海岸波浪の非線形性の解析、第 15 回：海岸工学講演会講演集 昭 43.12. PP. 73-79

Fig. 4 各種統計量の変化 →

